

# ارائه مدل دینامیکی موتور القایی سه فاز با دو عیب ناهم محوری و اتصال کوتاه شدن سیم پیچ استاتور

حامد حقیقی<sup>۱</sup>، حسن زرآبادی پور<sup>۲</sup>

<sup>۱</sup> دانشجوی دکتری، دانشگاه بین المللی امام خمینی (ره)، دانشکده فنی و مهندسی، hd.haghighi@edu.ikiu.ac.ir

<sup>۲</sup> دانشیار، دانشگاه بین المللی امام خمینی (ره)، دانشکده فنی و مهندسی، hzarabadi@eng.ikiu.ac.ir

پذیرش: ۱۳۹۹/۰۸/۲۶

ویرایش دوم: ۱۳۹۹/۰۷/۰۶

ویرایش اول: ۱۳۹۹/۰۴/۱۶

دریافت: ۱۳۹۹/۰۱/۰۹

**چکیده:** در این مقاله برای پوشش وسیع تر عیوب موتور القایی سه فاز، یک مدل دینامیکی در دستگاه مختصات  $d-q$  معرفی شده است. در این دستگاه مختصات، به دلیل ارزیابی جریان‌های استاتور به جای روتور، امکان پیاده سازی و تحلیل دقیق تر میسر می شود. در مدل پیشنهادی، دو عیب ناهم محوری و اتصال کوتاه شدن سیم پیچ استاتور بررسی گردیده است، که نتایج بررسی چنانچه در متن مقاله ارائه خواهد شد توانسته است بیش از ۷۰٪ عیوب موتور القایی سه فاز را تحت پوشش قرار دهد.

**کلمات کلیدی:** موتور القایی، ناهم محوری، سیم پیچ استاتور، عیب.

## Proposing a Dynamic Model of Induction Motors Including Eccentricity and Stator Windings' Faults

Hamed Haghighi, Hasan Zarabadipour

**Abstract:** A dynamic model in the  $d-q$  frame is introduced for wider coverage of the faults of three-phase induction motor. In this frame, it is possible to implement and analyze more accurately due to the evaluation of stator currents instead of rotor. In the proposed model, eccentricity and stator winding faults have been investigated. The results could cover more than 70% of the faults of the three-phase induction motor.

**Keywords:** Induction motor, eccentricity, stator winding, fault.

## ۱- مقدمه

در خصوص عیوب مربوط به بلبرینگ که موجب ناهم محوری روتور و استاتور می شود کارهای مختلفی انجام شده است. در [۱۰] مدلی برای شناسایی عیوب مربوط به ناهم محوری دینامیکی ارائه شده است. در مدل ارائه شده فقط ناهم محوری دینامیکی مدنظر قرار گرفته شده است. در مرجع [۱۱] علاوه بر ناهم محوری دینامیکی، عیوب مربوط به ناهم محوری استاتیکی و ترکیبی نیز مورد توجه قرار گرفته شده است. در [۱۲] یک سیستم تحمل پذیر عیب برای یک موتور القایی سه فاز با عیوب ناهم-محوری طراحی شده است.

جدول ۱- درصد احتمال وقوع انواع عیب در موتورهای القایی [۱۳، ۱۴]

بررسی کننده	درصد عیوب بلبرینگ	درصد عیوب استاتور	درصد عیوب روتور	درصد عیوب دیگر
IEEE	۴۲	۲۸	۸	۲۲
EPRI	۴۱	۳۶	۹	۱۴

بخش عمده عیوب مربوط به استاتور مربوط به اتصال کوتاه شدن سیم پیچ های آن است. مقالات مختلفی در زمینه شناسایی و جبران سازی عیب سیم پیچ موتورهای القایی وجود دارد. مرجع [۱۵] عیب اتصال کوتاه شدن سیم پیچ های استاتور را مورد توجه قرار داده و با استفاده از فیلتر کالمن توسعه یافته میزان عیب ایجاد شده را تخمین زده است. در مرجع [۱۶] نیز از همان مدل قبل برای عیوب اتصال کوتاه شدن سیم پیچ استفاده شده و با تخمین پارامتر عیب را شناسایی کرده است.

برای ارائه گویاتر کارهای انجام گرفته و مقایسه آنها با روش پیشنهاد شده در این مقاله جدول ۲ آورده شده است. چنانچه در جدول ۲ مشاهده می شود، روش پیشنهادی در مقایسه با کارهای صورت گرفته تاکنون از این برتری برخوردار است که شامل پوشش بیش از ۷۰٪ عیوب موتور القایی می شود و در نتیجه، در صورت بهره گیری از مدل پیشنهادی، عملکرد کلی سیستم را چه در شناسایی و چه در جبران سازی عیب می تواند بهبود بخشد.

جدول ۲- مقایسه روش پیشنهادی با روش های ارائه شده پیشین

مرجع	عیوب بلبرینگ	عیوب استاتور	مجموع عیوب تحت پوشش (%)
[۱۰]	<input checked="" type="checkbox"/>	<input checked="" type="checkbox"/>	۴۲
[۱۱]	<input checked="" type="checkbox"/>	<input checked="" type="checkbox"/>	۴۲
[۱۲]	<input checked="" type="checkbox"/>	<input checked="" type="checkbox"/>	۴۲
[۱۵]	<input checked="" type="checkbox"/>	<input checked="" type="checkbox"/>	۲۸
[۱۶]	<input checked="" type="checkbox"/>	<input checked="" type="checkbox"/>	۲۸
روش ارائه شده	<input checked="" type="checkbox"/>	<input checked="" type="checkbox"/>	۷۰

امروزه استفاده از موتورهای القایی به دلیل داشتن مزایایی چون سادگی، جان سختی، هزینه ساخت پایین، نگهداری آسان، راندمان بالا و قابلیت اطمینان بالا در صنایع مختلفی چون کشتی سازی، زیر دریایی، صنایع هوایی و کارخانجات تولیدی صنعتی جایگاه ویژه ای دارد [۱]. این موتورها در بسیاری از ماشین آلات کشتی ها از جمله موتور مربوط به جرثقیل، پشران، دمنده و پمپ آب مورد استفاده قرار می گیرند [۲، ۳]. با تقاضای روزافزون برای عملکرد بهتر سیستم و بالاتر بردن کیفیت تولید از یک سو و بهره وری بالاتر از لحاظ هزینه از سوی دیگر، پیچیدگی اتوماسیون فرآیندهای صنعتی به صورت پیوسته در حال افزایش است. این پیشرفت ها به ایمنی و قابلیت اطمینان سیستم نیاز دارند. با لحاظ کردن وسعت استفاده موتورهای القایی، وقوع عیب های الکتریکی و مکانیکی می تواند تهدیدی برای فرآیندهای صنعتی باشد. یک شیوه متداول برای بهبود قابلیت اطمینان سیستم، بالا بردن کیفیت و مقاومت اجزای سیستم مانند سنسورها، محرک ها، کنترل کننده ها و کامپیوترها است. البته باید توجه کرد حتی بدین وسیله نیز نمی توان عملکرد بدون عیب سیستم را تضمین نمود. همین امر باعث شده است امروزه نظارت بر فرآیند و تشخیص عیب و همچنین طراحی سیستم کنترل تحمل پذیر عیب، جزئی از سیستم های کنترل مدرن باشد [۴، ۵]. در خصوص سیستم های تشخیص و جبران سازی عیب دو رویکرد کلی وجود دارد. روش مبتنی بر سیگنال با داده و روش مبتنی بر مدل دینامیکی سیستم. در مقام مقایسه، روش های مبتنی بر مدل، به دلیل هزینه پیاده سازی پایین تر و سرعت پاسخ دهی بالاتر و مقاوم بودن در مواجهه با اغتشاش نسبت به روش های مبتنی بر سیگنال ارجحیت دارند [۶].

عیوب معمول در موتورهای القایی به طور کلی به دو دسته عیوب مکانیکی و الکتریکی دسته بندی می شوند [۷]. عیوب ایجاد شده باعث بروز یکسری نشانه هایی مانند موارد ذیل می گردد:

افزایش ارتعاشات گشتاور بار، کاهش مقدار متوسط گشتاور، افزایش تلفات و کاهش بازده [۸]. همچنین باید توجه شود که عیوب مکانیکی معمولاً موجب ناپایداری در سیستم حلقه بسته نمی شوند و در نتیجه در صورتی که موتور برای مدت محدودی در این شرایط کار کند آسیب جدی به ساختار کلی موتور وارد نمی شود. در مقابل، عیوبی وجود دارند که در صورت تشخیص ندادن در کمترین زمان، ساختار کلی موتور دچار آسیب جدی شده و در نتیجه اثرات نامطلوبی بر فرآیندهای صنعتی خواهد داشت. بنابراین، طراحی سیستم جبران ساز عیب در شرایط عیب بسیار پر اهمیت خواهد بود. این سیستم باعث می شود هم عیب شناسایی شده و هم راندمان موتور توسط سیستم جبران ساز بهبود داده شود [۹]. در جدول ۱ حاصل بررسی انجام گرفته در خصوص فراوانی عیوب مربوط به موتورهای القایی آورده شده است. با توجه به جدول ۱ رتبه اول وقوع عیوب مربوط به بلبرینگ بوده و عیوب مربوط به استاتور رتبه دوم از حیث احتمال وقوع را به خود اختصاص داده اند.

## ۲- مدل دینامیکی موتور القایی در شرایط بدون

## عیب

در این بخش، یک مدل دینامیکی موتور القایی در شرایط بدون عیب مورد توجه قرار می‌گیرد [۱۲]. این مدل در شرایط ایستای دو فاز در دستگاه مختصات با دو عضو  $a$  و  $b$  برای کنترل بر اساس میدان در نظر گرفته شده است. در این دستگاه مختصات، معادله مدل یک موتور القایی متقارن دو فاز می‌تواند به صورت رابطه (۱) توسط معادلات دیفرانسیل غیر خطی نمایش داده شود. در رابطه (۱)،  $\psi_a$  و  $\psi_b$  مولفه‌های شار روتور،  $i_a$  و  $i_b$  مولفه‌های جریان استاتور،  $\omega_m$  سرعت روتور می‌باشد. و  $n_p$  تعداد جفت قطب‌های موتور القایی است.  $L_s, L_r, R_s, R_r$  مقاومت‌های استاتور و روتور و همچنین اندوکتانس‌های استاتور و روتور هستند.  $L_m$  اندوکتانس مغناطیسی،  $\tau_L$  گشتاور بار است که مقدار آن ثابت فرض می‌شود و  $J$  اینرسی روتور است. بعلاوه،  $u = (u_a u_b)^T$  ورودی کنترل است که  $u_a$  و  $u_b$  مولفه‌های ولتاژ استاتور هستند [۱۲].

$$\begin{cases} \frac{d\omega_m}{dt} = \mu(\psi_a i_b - \psi_b i_a) - \frac{\tau_L}{J}, \\ \frac{d\psi_a}{dt} = -\frac{1}{\tau_r} \psi_a - n_p \omega_m \psi_b + \frac{L_m}{\tau_r} i_a, \\ \frac{d\psi_b}{dt} = n_p \omega_m \psi_a - \frac{1}{\tau_r} \psi_b + \frac{L_m}{\tau_r} i_b, \\ \frac{di_a}{dt} = \frac{\beta}{\tau_r} \psi_a + n_p \beta \omega_m \psi_b - \frac{1}{\tau_l} i_a + \frac{1}{\zeta_l} u_a, \\ \frac{di_b}{dt} = -n_p \beta \omega_m \psi_a + \frac{\beta}{\tau_r} \psi_b - \frac{1}{\tau_l} i_b + \frac{1}{\zeta_l} u_b. \end{cases} \quad (1)$$

$$\begin{aligned} \tau_r &= \frac{L_r}{R_r}, \quad \zeta_l = L_s - \frac{L_m^2}{L_r}, \quad \beta = \frac{L_m}{L_r \zeta_l} \\ R_l &= R_s + R_r \left(\frac{L_m}{L_r}\right)^2, \quad \mu = \frac{n_p L_m}{J L_r}, \quad \tau_l = \frac{\zeta}{R_l} \end{aligned} \quad (2)$$

فرض می‌شود که جریان‌های  $i_a$  و  $i_b$  و سرعت روتور  $\omega_m$  قابل اندازه‌گیری و برای طراحی کنترل کننده نامی در دسترس هستند. از آنجایی که تمامی جریان‌ها و ولتاژهای استاتور در فریم سه فاز  $R-S-T$  اندازه‌گیری می‌شوند، میتوان از تبدیل مختصات رابطه (۳) بین این دستگاه و دستگاه مختصات ایستای دو فاز  $a-b$  استفاده کرد:

$$\begin{pmatrix} i_a \\ i_b \\ 0 \end{pmatrix} = \begin{pmatrix} 1 & -\frac{1}{2} & -\frac{1}{2} \\ 0 & \frac{\sqrt{3}}{2} & -\frac{1}{2} \\ \frac{1}{2} & \frac{1}{2} & \frac{1}{2} \end{pmatrix} \begin{pmatrix} i_R \\ i_S \\ i_T \end{pmatrix} \quad (3)$$

بر اساس مدل ریاضی موتور القایی رابطه (۳-۱)، اهداف کنترلی می‌تواند بر اساس اصل کنترل بر پایه میدان تعریف شوند [۱۷].

## ۳- مدلسازی دینامیکی عیب‌های مکانیکی لنگی

در این بخش، اثرات عیب‌های مکانیکی بر روی جریان‌های استاتور و دینامیک آن‌ها مورد بررسی قرار می‌گیرد. همچنین یک مدل دارای عیب مربوط به یک موتور القایی ارائه خواهد شد. معمولاً این عیوب مکانیکی در یک رژیم ثابت از موتور القایی تحت شرایط بار مشخصی اتفاق می‌افتد، اما مدل دارای عیب ارائه شده در این بخش قابل اعمال در خصوص موارد کلی‌تر می‌باشد. در سالهای اخیر، کارهای مختلفی از اثرات عیوب مکانیکی بر روی جریان‌های استاتور گزارش شده است. همه گزارش‌ها یک نقطه نظر مشترک دارند، و آن اینکه پس از به وقوع پیوستن عیوب مکانیکی، هارمونیک‌های اضافی پدیدار می‌شوند. این هارمونیک‌های اضافی موجود در جریان‌های استاتور دارای فرکانس و دامنه خاصی بسته به عیب ایجاد شده و شدت آنها هستند [۷، ۱۸، ۱۹].

عیوب مکانیکی به صورت عمده دارای دو اثر نامطلوب بر روی موتورهای القایی هستند. این اثرات عبارتند از: ارتعاشات گشتاور بار اضافی و لنگی فاصله هوایی. ارتعاشات گشتاور بار در واقع به دلیل عدم تقارن بار، ناهم-محور بودن شفت، گیربکس و عیب‌های بلبرینگ اتفاق می‌افتد. لنگی فاصله هوایی میتواند معمولاً حاصل معیوب شدن بلبرینگ و مونتاژ بد روتور همراه با عدم تعادل روتور باشد. لنگی فاصله هوایی میتواند به سه نوع دسته بندی شود [۱۹].

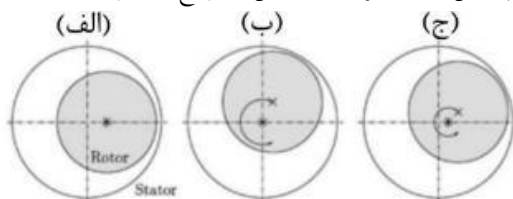
**لنگی استاتیکی:** مرکز دوران روتور و مرکز هندسی روتور یکسان هستند، ولی متفاوت از مرکز استاتور هستند.

**لنگی دینامیکی:** مرکز هندسی روتور متفاوت از مرکز دوران روتور بوده و همچنین مرکز دوران روتور و مرکز استاتور یکسان هستند.

**لنگی آمیخته:** مرکز هندسی روتور و مرکز دوران متفاوت با مرکز استاتور یکسان هستند.

دو نوع اول موجب عدم تقارن استاتور و روتور می‌شود. شکل ۱ شمای هر سه نوع لنگی فاصله هوایی را نشان می‌دهد.

فاصله هوایی متشکل از شیارهای دارای رسانایی مغناطیسی روتور و استاتور است. به دلیل عیب ایجاد شده، هنگامی که لنگی اتفاق می‌افتد، هارمونیک‌های میدان مغناطیسی روتور و استاتور و همچنین عناصر اصلی آن، دارای یک هارمونیک جدید می‌شوند. این امر می‌تواند سیستم را به سمت چگالش شار و انحراف یا اغتشاش در توزیع شار سوق دهد.



شکل ۱- شمای کلی انواع لنگی فاصله هوایی.

\* نشان دهنده مرکز هندسی روتور، \* نشانگر مرکز دوران روتور.

(الف) لنگی استاتیکی - (ب) لنگی دینامیکی - (ج) لنگی آمیخته [۱۹]

مساوی با صفر خواهند بود. مطابق روابط (۶) عیوب تجمعی  $f_a$  و  $f_b$  به فرم ذیل خواهند بود:

$$\begin{aligned} f_a &= +\Gamma \left[ \dot{\omega}_c(t) \cos(\omega_c(t) + \phi) \right. \\ &\quad \left. - \frac{1}{\tau_l} \sin(\omega_c(t) + \phi) \right] \\ f_b &= -\Gamma \left[ \dot{\omega}_c(t) \sin(\omega_c(t) + \phi) \right. \\ &\quad \left. + \frac{1}{\tau_l} \cos(\omega_c(t) + \phi) \right] \end{aligned} \quad (10)$$

**ملاحظه الف:** به روشنی مشخص است در مورد عیب‌هایی که به دلیل عدم تقارن روتور ایجاد می‌شود، جریان‌های استاتور حاصل از روابط (۴) به صورت جمعی از ترم‌های سینوسی با دامنه و فازهای نامشخص گسترش می‌یابد. دامنه و فاز سینوسی‌ها رابطه مستقیمی با شدت عیب دارد.

$$\begin{aligned} i_a(t) &\rightarrow i_a(t) + \sum_{k=1}^{N_1} \Gamma_k \sin(\omega_{c,k}(t) + \phi) \\ &\quad + \Gamma_{-k} \sin(\omega_{c,-k}(t) + \phi_{-k}), \\ i_b(t) &\rightarrow i_b(t) + \sum_{k=1}^{N_1} \Gamma_k \cos(\omega_{c,k}(t) + \phi) \\ &\quad + \Gamma_{-k} \cos(\omega_{c,-k}(t) + \phi_{-k}), \end{aligned} \quad (11)$$

بنابر این، عیب‌های تجمعی  $f_a$  و  $f_b$  به صورت ذیل خواهند بود:

$$\begin{aligned} f_a &= \sum_{k=1}^{N_1} +\Gamma_k \left[ \dot{\omega}_{c,k}(t) \cos(\omega_{c,k}(t) + \phi_k) \right. \\ &\quad \left. - \frac{1}{\tau_l} \sin(\omega_{c,k}(t) + \phi_k) \right] \\ &\quad + \Gamma_{-k} \left[ \dot{\omega}_{c,-k}(t) \cos(\omega_{c,-k}(t) + \phi_{-k}) \right. \\ &\quad \left. - \frac{1}{\tau_l} \sin(\omega_{c,-k}(t) + \phi_{-k}) \right], \\ f_b &= \sum_{k=1}^{N_1} -\Gamma_k \left[ \dot{\omega}_{c,k}(t) \sin(\omega_{c,k}(t) + \phi_k) \right. \\ &\quad \left. + \frac{1}{\tau_l} \cos(\omega_{c,k}(t) + \phi_k) \right] \\ &\quad - \Gamma_{-k} \left[ \dot{\omega}_{c,-k}(t) \sin(\omega_{c,-k}(t) + \phi_{-k}) \right. \\ &\quad \left. + \frac{1}{\tau_l} \cos(\omega_{c,-k}(t) + \phi_{-k}) \right] \end{aligned} \quad (12)$$

طوری‌که  $N_1$  یک عدد صحیح مثبت و

$$\omega_{c,\pm k} = 2\pi \int_0^t \mathcal{F}_{c,\pm k}(\tau) d\tau,$$

همچنین در رابطه فوق

$$\mathcal{F}_{c,\pm k} = \left( 1 \pm \frac{2ks\omega}{\omega_s} \right) \mathcal{F}_s$$

**ملاحظه ب:** این امر ارزش توجه دارد که روتور با میله‌های شکسته و همچنین عیوب مربوط به رینگ که به دلیل گرما، تنش مغناطیسی و نشتی، تلفات ماکزیمم و نویزهای الکترومغناطیسی بوجود می‌آید، هارمونیک‌های اضافی مشابه با حالتی که ناشی از عدم تقارن روتور است تولید می‌کند [۹].

تأثیر این اغتشاش در جریان‌های استاتور دستگاه ایستای مرجع می‌تواند به فرم ذیل نوشته شود [۱۲]:

$$\begin{aligned} i_a(t) &\rightarrow i_a(t) + \Gamma \sin(\omega_c(t) + \phi), \\ i_b(t) &\rightarrow i_b(t) + \Gamma \cos(\omega_c(t) + \phi), \end{aligned} \quad (4)$$

طوری‌که:

$$\omega_c(t) = 2\pi \int_0^t \mathcal{F}_c(\tau) d\tau \quad (5)$$

باید توجه شود که فرکانس  $\mathcal{F}_c$  مربوط به سیگنال عیب در حالت کلی نامشخص است، اما معمولاً می‌توان آن را به صورت  $\mathcal{F}_c = \mathcal{F}_s$  برای عیب‌های حاصل از عدم تقارن استاتور و به صورت  $\mathcal{F}_c = (1 \pm \frac{2ks\omega}{\omega_s}) \mathcal{F}_s$  برای عیب حاصل از عدم تقارن روتور در نظر گرفت.  $\mathcal{F}_s$  فرکانس تغذیه،  $s = \omega_s - n_p \omega_m$  نیز به عنوان فرکانس زاویه‌ای لغزش تعریف می‌شود.  $k$  یک عدد صحیح مثبت است. دامنه  $\Gamma$  و فاز  $\phi$  در رابطه (۴) نامشخص بوده و مقادیر آنها بستگی به شدت عیب دارد. بنابر این دینامیک جریان استاتور که در رابطه (۱) آمده است با لحاظ کردن رابطه (۴) به فرم ذیل نوشته می‌شود:

$$\begin{aligned} \frac{di_a}{dt} &= \frac{\beta}{\tau_r} \psi_a + n_p \beta \omega_m \psi_b - \frac{1}{\tau_l} i_a + \frac{1}{L_l} u_a \\ &\quad - \frac{\Gamma}{\tau_l} \sin(\omega_c(t) + \phi) \\ &\quad + \Gamma \dot{\omega}_c(t) \cos(\omega_c(t) + \phi), \\ \frac{di_b}{dt} &= \frac{\beta}{\tau_r} \psi_b - n_p \beta \omega_m \psi_a - \frac{1}{\tau_l} i_b + \frac{1}{L_l} u_b \\ &\quad - \frac{\Gamma}{\tau_l} \cos(\omega_c(t) + \phi) \\ &\quad - \Gamma \dot{\omega}_c(t) \sin(\omega_c(t) + \phi), \end{aligned} \quad (6)$$

چنان‌که معادله کلی ذیل را برای سیستم در نظر بگیریم:

$$\dot{x} = A(\omega_m)x + Bu \quad (7)$$

و رابطه (۶) را لحاظ کنیم، مدل عیب یک موتور القایی در حضور عیب‌های مکانیکی می‌تواند به فرم ذیل نمایش داده شود:

$$\dot{x} = A(\omega_m)x + Bu + Ef \quad (8)$$

که در رابطه فوق  $E = (E_a E_b)$  و  $f = (f_a f_b)^T$  و همچنین خواهیم داشت:

$$\begin{aligned} E_a &= (0 \ 0 \ 1 \ 0)^T, \quad E_b \\ &= (0 \ 0 \ 0 \ 1)^T \end{aligned} \quad (9)$$

در روابط فوق  $f_a$  و  $f_b$  عیوب تجمعی هستند که ناشی از عیوب مکانیکی در موتور القایی بوده و در صورتی که هیچ عیبی رخ نداده باشد

$$\gamma = \frac{L_m^2 R_r}{\sigma L_s L_r^2} + \frac{R_s}{\sigma L_s}, \quad \sigma = 1 - \frac{L_m^2}{L_s L_r} \quad (17)$$

در حقیقت، هدف از کنترل بر پایه میدان قرار دادن شار روتور در امتداد محور  $d$  می باشد. بنابراین، دامنه شار روتور  $\psi_r = \psi_d$  و سرعت روتور  $\omega_m$  به عنوان متغیرهای کنترلی تعریف می گردد، بنابر این اهداف کنترلی عبارتند از:

$$\lim_{t \rightarrow \infty} |\psi_r(t) - \psi_{ref}(t)| = 0, \quad (18)$$

$$\lim_{t \rightarrow \infty} |\omega_m(t) - \omega_{ref}(t)| = 0,$$

که  $\psi_{ref}$  و  $\omega_{ref}$  سیگنال های مرجع مطلوب هستند. در سال های اخیر، تحت شرایط نامی، کنترل بر پایه میدان به طور وسیعی مورد مطالعه قرار گرفته است و روش های کنترلی متنوعی برای طراحی قانون کنترل نامی ارائه شده است.

$$u_0 = K_{FOC}(x, \omega_m, \omega_{ref}, \psi_{ref}) \quad (19)$$

که  $x = (\psi_a \ \psi_b \ i_a \ i_b)^T$  بردار حالت است.

حال عیوب بررسی شده در قسمت قبل به دستگاه مختصات  $d-q$  منتقل می شود. طبق آنچه آمده است، جریان ها به این صورت به هم مرتبط هستند:

$$\begin{bmatrix} i_d \\ i_q \end{bmatrix} = \begin{bmatrix} \cos \theta & \sin \theta \\ -\sin \theta & \cos \theta \end{bmatrix} \begin{bmatrix} i_a \\ i_b \end{bmatrix} \quad (20)$$

$$\Rightarrow \begin{cases} i_d = \cos \theta i_a + \sin \theta i_b \\ i_q = -\sin \theta i_a + \cos \theta i_b \end{cases}$$

از باز کردن رابطه بالا، عبارت ذیل حاصل شده است:

$$i_d = \cos \theta (i_a + \Gamma \sin(\omega_c(t) + \phi)) + \sin \theta (i_b + \Gamma \cos(\omega_c(t) + \phi))$$

$$i_d = (\cos \theta i_a + \sin \theta i_b) + (\cos \theta \Gamma \sin(\omega_c(t) + \phi) + \sin \theta \Gamma \cos(\omega_c(t) + \phi)) \quad (21)$$

$$i_d(\text{health}) = (\cos \theta i_a + \sin \theta i_b)$$

$$i_d(\text{fault}) = (\cos \theta \Gamma \sin(\omega_c(t) + \phi) + \sin \theta \Gamma \cos(\omega_c(t) + \phi))$$

همچنین:

$$i_q = -\sin \theta (i_a + \Gamma \sin(\omega_c(t) + \phi)) + \cos \theta (i_b + \Gamma \cos(\omega_c(t) + \phi))$$

$$i_a = (-\sin \theta i_a + \cos \theta i_b) - (\sin \theta \Gamma \sin(\omega_c(t) + \phi) + \cos \theta \Gamma \cos(\omega_c(t) + \phi)) \quad (22)$$

**ملاحظه پ:** در عمل، فرکانس  $\omega_c$  در عیب  $f$  نامشخص است. این امر انگیزه طراحی یک مشاهده گر عیب در این مدل را قوت می بخشد.

#### ۴- بررسی عیب ناهم محوری در دستگاه مختصات $d-q$

کنترل بر پایه میدان یک سرعت زاویه خاص  $\omega_s$  را برای تبدیل به معادلات حالت از دستگاه مرجع ایستای دو فاز به دستگاه مرجع ایستای دو فاز سنکرون با استفاده از مولفه های  $d-q$  معرفی می کند. این امر موجب شده است دستگاه مختصات  $d-q$  در طراحی کنترل کننده نامی و سیستم تحمل پذیر عیب بیشتر مورد استفاده قرار گیرد. لذا هم در این بخش و هم در بخش بعدی مدلسازی عیب در دستگاه مختصات  $d-q$  آورده می شود. این تبدیلات به صورت ذیل خواهد بود:

$$\theta = \arctan\left(\frac{\psi_b}{\psi_a}\right), \quad (13)$$

$$\omega_s = \dot{\theta}$$

تبدیل عبارتست از:

$$\begin{pmatrix} i_d \\ i_q \end{pmatrix} = M_T \begin{pmatrix} i_a \\ i_b \end{pmatrix}, \quad \begin{pmatrix} \psi_d \\ \psi_q \end{pmatrix} = M_T \begin{pmatrix} \psi_a \\ \psi_b \end{pmatrix} \quad (14)$$

$$M_T = \begin{pmatrix} \cos(\theta) & \sin(\theta) \\ -\sin(\theta) & \cos(\theta) \end{pmatrix}.$$

با استفاده از (۱۳) و رابطه (۱۴) میتوان نوشت:

$$\psi_q = 0,$$

$$\psi_d = \sqrt{\psi_a^2 + \psi_b^2}. \quad (15)$$

قبل از پرداختن به مدل سازی عیب ناهم محوری، دینامیک موتور القایی در دستگاه مختصات  $d-q$  آورده می شود:

$$\begin{cases} \frac{d\psi_d}{dt} = -\frac{1}{\tau_r} \psi_d + \frac{L_m}{\tau_r} i_d, \\ \frac{di_d}{dt} = -\gamma i_d + \frac{\beta}{\tau_r} \psi_d + n_p \omega i_q + \frac{L_m i_q^2}{\tau_r \psi_d} + \frac{1}{\sigma L_s} u_d, \\ \frac{di_q}{dt} = -\gamma i_q - \beta n_p \omega \psi_d - n_p \omega i_d - \frac{L_m i_q i_d}{\tau_r \psi_d} + \frac{1}{\sigma L_s} u_q, \\ \frac{d\omega_m}{dt} = \mu \psi_d i_q - \frac{\tau_L}{J}, \\ \frac{d\theta}{dt} = n_p \omega + \frac{L_m i_q}{\tau_r \psi_d}, \end{cases} \quad (16)$$

در رابطه فوق علاوه بر پارامترهای دینامیک اصلی، موارد ذیل نیز اضافه می شود:

$$\begin{aligned} \frac{d}{dt} i_{q \text{ eccentricity fault}} &= -\dot{\theta} \cos \theta \Gamma \sin(\omega_c(t) + \phi) \\ &\quad - \dot{\omega}_c \sin \theta \Gamma \cos(\omega_c(t) + \phi) \\ &\quad - \dot{\theta} \sin \theta \Gamma \cos(\omega_c(t) + \phi) \\ &\quad - \dot{\omega}_c \cos \theta \Gamma \sin(\omega_c(t) + \phi) \end{aligned} \quad (30)$$

### ۵- مدل سازی عیب مربوط به سیم پیچ استاتور

عیوب مربوط به اتصال کوتاه شدن سیم پیچ به صورت روابط ذیل در مدل موتور القایی قابل اعمال است [۱۵].

$$[I_s]_{dq} = [I'_s]_{dq} + [Z_{sc}]_{dq}^{-1} [V_s]_{dq} \quad (31)$$

$$[Z_{sc}]_{dq}^{-1} = \sum_{k=1}^3 \frac{2 \cdot n_{sc k}}{3 \cdot R_s} \cdot P(\theta)^T \cdot Q(\theta_{sc k}) \cdot P(\theta) \quad (32)$$

طوریچه  $[I_s]_{dq}$  جریان استاتور پس از افزوده شدن جریان عیب در دستگاه مختصات d-q می باشد.

$$P(\theta) = \begin{bmatrix} \cos \theta & -\sin \theta \\ \sin \theta & \cos \theta \end{bmatrix} \quad (33)$$

و رابطه (۳۳) ماتریس تبدیل دستگاه d-q می باشد. در مرجع [۱۵] برای افزودن مدل عیب، مدل دینامیکی موتور القایی به صورت خطی در نظر گرفته شده است. در این مقاله، با توجه به اینکه مدل به صورت غیرخطی در نظر گرفته شده است، عیب اتصال کوتاه شدن نیز به سیستم غیرخطی اضافه می شود. روابط (۳۴) و (۳۵) نشان دهنده سیستم خطی مرجع [۱۵] می باشد.

$$\begin{aligned} \frac{d}{dt} I'_{sd} &= \frac{1}{L_f} V_{sd} - \frac{R_s + R_r}{L_f} I'_{sd} + \omega_e I'_{sq} \\ &\quad + \frac{R_r}{L_m \cdot L_f} \phi_{dr} + \frac{\omega_e}{L_f} \phi_{qr} \end{aligned} \quad (34)$$

$$\begin{aligned} \frac{d}{dt} I'_{sq} &= \frac{1}{L_f} V_{sq} - \frac{(R_s + R_r)}{L_f} I'_{sq} - \omega_e I'_{sd} \\ &\quad - \frac{\omega_e}{L_f} \phi_{dr} + \frac{R_r}{L_m \cdot L_f} \phi_{qr} \end{aligned} \quad (35)$$

طوریچه  $[V_s]_{dq}$  ولتاژ استاتور در دستگاه مختصات d-q بر حسب ولت،  $[I'_s]_{dq}$  جریان های استاتور در دستگاه d-q بر حسب آمپر است.  $\omega_e$  سرعت زاویه ای الکتریکی در واحد rad/sec است.  $\phi_{qr}$  و  $\phi_{dr}$  شار ناشی در واحد wb و  $R_r, R_s, L_m$  و  $L_f$  مطابق رابطه (۱) و نهایتاً  $L_f$  نیز اندوکتانس ناشی کلی می باشد.

$$i_{q(health)} = -\sin \theta i_a + \cos \theta i_b$$

$$i_{q(fault)} = -(\sin \theta \Gamma \sin(\omega_c(t) + \phi) + \cos \theta \Gamma \cos(\omega_c(t) + \phi))$$

با توجه به اینکه در مدل سازی مدل دینامیکی  $i_d$  و  $i_q$  نیاز است، لذا با مشتق گیری از روابط بالا معادلات دینامیکی نوشته می شود:

$$\begin{aligned} \frac{d}{dt} i_{d \text{ total}} &= \frac{d}{dt} i_{d \text{ health}} \\ &\quad - \dot{\theta} \sin \theta \Gamma \sin(\omega_c(t) + \phi) \\ &\quad + \dot{\omega}_c \cos \theta \Gamma \cos(\omega_c(t) + \phi) \\ &\quad + \dot{\theta} \cos \theta \Gamma \cos(\omega_c(t) + \phi) \\ &\quad - \dot{\omega}_c \sin \theta \Gamma \sin(\omega_c(t) + \phi) \end{aligned} \quad (23)$$

همچنین:

$$\begin{aligned} \frac{d}{dt} i_{q \text{ total}} &= \frac{d}{dt} i_{q \text{ health}} \\ &\quad - \dot{\theta} \cos \theta \Gamma \sin(\omega_c(t) + \phi) \\ &\quad - \dot{\omega}_c \sin \theta \Gamma \cos(\omega_c(t) + \phi) \\ &\quad - \dot{\theta} \sin \theta \Gamma \cos(\omega_c(t) + \phi) \\ &\quad - \dot{\omega}_c \cos \theta \Gamma \sin(\omega_c(t) + \phi) \end{aligned} \quad (24)$$

در واقع جریان های d و q از دو بخش تشکیل شده اند. قسمت مربوط به عملکرد بدون عیب و قسمتی که حاصل عیب لنگی می باشد. به صورت کلی میتوان برای عیب لنگی نوشت:

$$\frac{d}{dt} i_{d \text{ total}} = \frac{d}{dt} i_{d \text{ health}} + \frac{d}{dt} i_{d \text{ eccentricity fault}} \quad (25)$$

$$\frac{d}{dt} i_{q \text{ total}} = \frac{d}{dt} i_{q \text{ health}} + \frac{d}{dt} i_{q \text{ eccentricity fault}} \quad (26)$$

جزئیات به صورت ذیل می باشد.

$$\begin{aligned} \frac{d}{dt} i_{d \text{ health}} &= -\gamma i_d + \frac{\beta}{\tau_r} \psi_d + n_p \omega i_q \\ &\quad + \frac{L_m i_q^2}{\tau_r \psi_d} + \frac{1}{\sigma L_s} u_d \end{aligned} \quad (27)$$

$$\begin{aligned} \frac{d}{dt} i_{d \text{ eccentricity fault}} &= -\dot{\theta} \sin \theta \Gamma \sin(\omega_c(t) + \phi) \\ &\quad + \dot{\omega}_c \cos \theta \Gamma \cos(\omega_c(t) + \phi) \\ &\quad + \dot{\theta} \cos \theta \Gamma \cos(\omega_c(t) + \phi) \\ &\quad - \dot{\omega}_c \sin \theta \Gamma \sin(\omega_c(t) + \phi) \end{aligned} \quad (28)$$

$$\begin{aligned} \frac{d}{dt} i_{q \text{ health}} &= -\gamma i_q - \beta n_p \omega \psi_d - n_p \omega i_d \\ &\quad - \frac{L_m i_q^2}{\tau_r \psi_d} + \frac{1}{\sigma L_s} u_q \end{aligned} \quad (29)$$

$$\frac{d}{dt} [Z_{sc}]^{-1} = \sum_{k=1}^3 \frac{2 \cdot n_{sc_k}}{3 \cdot R_s} [\dot{P}(\theta)^T Q(\theta_{sc_k}) P(\theta)] + P(\theta)^T Q(\theta_{sc_k}) \dot{P}(\theta) \quad (40)$$

و برای  $\dot{P}(\theta)$  نیز میتوان نوشت:

$$\dot{P}(\theta) = \begin{bmatrix} -\dot{\theta} \sin \theta & -\dot{\theta} \cos \theta \\ \dot{\theta} \cos \theta & -\dot{\theta} \sin \theta \end{bmatrix} = \dot{\theta} \begin{bmatrix} -\sin \theta & -\cos \theta \\ \cos \theta & -\sin \theta \end{bmatrix} \quad (41)$$

و برای  $\theta$  نیز باید از معادلات حالت سیستم جایگذاری را انجام داد.

بنابراین به صورت کلی برای عیب اتصال کوتاه شدن سیم پیچ‌های استاتور میتوان مشابه آنچه که در مورد عیب لنگی نوشته شده است روابط را به صورت کلی آورد.

$$\frac{d}{dt} i_{d_{total}} = \frac{d}{dt} i_{d_{health}} + \frac{d}{dt} i_{d_{short\ circuit\ fault}} \quad (42)$$

$$\frac{d}{dt} i_{q_{total}} = \frac{d}{dt} i_{q_{health}} + \frac{d}{dt} i_{q_{short\ circuit\ fault}} \quad (43)$$

برای جزئیات رابطه فوق نیز با توجه به نوع روابط، بهتر است از روابط ماتریسی استفاده شود. بنابر این میتوان نوشت:

$$\frac{d}{dt} \begin{bmatrix} i_d \\ i_q \end{bmatrix}_{health} = \begin{cases} -\gamma i_d + \frac{\beta}{\tau_r} \psi_d + n_p \omega i_q \\ + \frac{L_m i_q^2}{\tau_r \psi_d} + \frac{1}{\sigma L_s} u_d \\ -\gamma i_q - \beta n_p \omega \psi_d - n_p \omega i_d \\ - \frac{L_m i_q i_d}{\tau_r \psi_d} + \frac{1}{\sigma L_s} u_q \end{cases} \quad (44)$$

$$\frac{d}{dt} \begin{bmatrix} i_d \\ i_q \end{bmatrix}_{short\ circuit\ fault} = \frac{d}{dt} [Z_{sc}]^{-1} \begin{bmatrix} u_d \\ u_q \end{bmatrix} + [Z_{sc}]^{-1} \frac{d}{dt} \begin{bmatrix} u_d \\ u_q \end{bmatrix} \quad (45)$$

## ۷- جایگزینی توام مدل دینامیکی دو عیب لنگی و اتصال کوتاه شدن سیم پیچ‌های استاتور

به صورت کلی برای مدل دینامیکی توام، با توجه به روابط نوشته شده در دو بخش ۵ و ۶ میتوان نوشت:

$$\frac{d}{dt} i_{d_{total}} = \frac{d}{dt} i_{d_{health}} + \frac{d}{dt} i_{d_{eccentricity\ fault}} + \frac{d}{dt} i_{d_{short\ circuit\ fault}} \quad (46)$$

هنگامی که عیب اتصال کوتاه در سیم پیچ رخ می‌دهد، رابطه جریانی به صورت رابطه (۳۱) تغییر پیدا می‌کند. در رابطه (۳۲)، تمامی پارامترها در یک فاز به جز پارامترهای شامل  $\theta$  ثابت هستند. علاوه بر این باید توجه شود که  $\theta$  متناسب با متغیرهای حالت سیستم تغییر می‌کند. همچنین معادلات (۳۴) و (۳۵) معادلات سیستم در دستگاه مختصات d-q می‌باشد. برای اینکه مقایسه درستی با نتایج مدل‌سازی اولیه انجام شود، به جای معادلات خطی فوق از همان معادلات غیرخطی که در بخش قبل آمده است استفاده خواهد شد. باید توجه شود که عیب سیم پیچ استاتور از نوع عیوب ضرب شونده بوده و در نتیجه دینامیک سیستم را دستخوش تغییرات می‌کند. این امر سبب می‌شود که کنترل‌کننده نامی در هر شریقی نتواند سیستم را پایدار کند. در نتیجه طراحی جبران‌ساز عیب برای این سیستم حتی برای تضمین پایداری اجتناب ناپذیر خواهد بود.

## ۶- بررسی عیب اتصال کوتاه شدن سیم پیچ‌های استاتور در دستگاه مختصات d-q

چنانکه اشاره شد این عیب نیز در مقاله دوم آمده است. در اینجا روابط مجدداً بازنویسی شده و روابط به طور کامل بسط داده خواهد شد.

$$\begin{bmatrix} i_d \\ i_q \end{bmatrix}_{total} = \begin{bmatrix} i_d \\ i_q \end{bmatrix}_{health} + [Z_{sc}]^{-1} \begin{bmatrix} u_d \\ u_q \end{bmatrix} \quad (36)$$

$[Z_{sc}]^{-1}$  به صورت ذیل بسط داده شده است:

$$\begin{bmatrix} i_d \\ i_q \end{bmatrix}_{total} = \begin{bmatrix} i_d \\ i_q \end{bmatrix}_{health} + \left( \sum_{k=1}^3 \frac{2 \cdot n_{sc_k}}{3 \cdot R_s} P(\theta)^T Q(\theta_{sc_k}) P(\theta) \right) \begin{bmatrix} u_d \\ u_q \end{bmatrix} \quad (37)$$

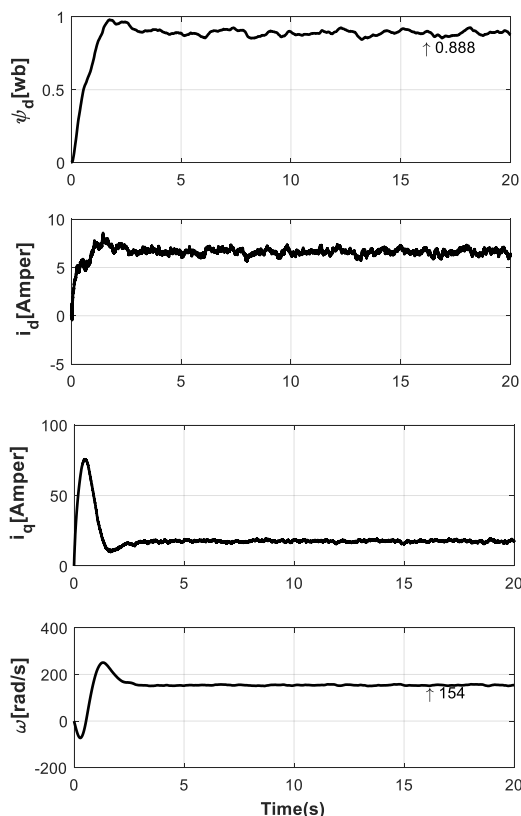
از طرفی رابطه  $P(\theta)$  و  $Q(\theta_{sc_k})$  به صورت رابطه (۳۸) جایگذاری می‌شود:

$$\begin{bmatrix} i_d \\ i_q \end{bmatrix}_{total} = \begin{bmatrix} i_d \\ i_q \end{bmatrix}_{health} + \left( \sum_{k=1}^3 \begin{bmatrix} \frac{2 \cdot n_{sc_k}}{3 \cdot R_s} \begin{bmatrix} \cos \theta & \sin \theta \\ -\sin \theta & \cos \theta \end{bmatrix} \begin{bmatrix} \cos^2 \theta_{sc_k} & \sin \theta_{sc_k} \cos \theta_{sc_k} \\ \sin \theta_{sc_k} \cos \theta_{sc_k} & \cos^2 \theta_{sc_k} \end{bmatrix} \begin{bmatrix} u_d \\ u_q \end{bmatrix} \\ \begin{bmatrix} \cos \theta & -\sin \theta \\ \sin \theta & \cos \theta \end{bmatrix} \end{bmatrix} \right) \begin{bmatrix} u_d \\ u_q \end{bmatrix} \quad (38)$$

نهایتاً با گرفتن مشتق از رابطه فوق، عبارت ذیل حاصل شده است:

$$\frac{d}{dt} \begin{bmatrix} i_d \\ i_q \end{bmatrix}_{total} = \frac{d}{dt} \begin{bmatrix} i_d \\ i_q \end{bmatrix}_{health} + \frac{d}{dt} [Z_{sc}]^{-1} \begin{bmatrix} u_d \\ u_q \end{bmatrix} + [Z_{sc}]^{-1} \frac{d}{dt} \begin{bmatrix} u_d \\ u_q \end{bmatrix} \quad (39)$$

از طرفی برای مشتق  $[Z_{sc}]^{-1}$  میتوان نوشت:



شکل ۲ - متغیرهای حالت سیستم در شرایط بدون عیب در حضور کنترل کننده نامی

A اتفاق می افتد. دامنه عیب ناهم محوری استاتور که شدت آنرا مشخص می کند، در رابطه ۴ آمده است. مطابق جدول ۳ دامنه عیب مذکور ۶ در نظر گرفته شده است. نسبت دوره های دارای عیب به کل دوره های سیم پیچ A ۳٪ فرض شده است.

متغیرهای حالت سیستم در شکل ۵ مشاهده می شود، عیب ناهم محوری استاتور که در ثانیه پنجم اعمال شده است، باعث شده که جریانهای  $i_d$  و  $i_q$  دارای ارتعاشات به فرم شبه سینوسی شوند، از طرفی تغییرات جزئی در  $\psi_d$  و  $\omega$  نیز مشاهده می شود. نکته قابل توجه اینکه، با اعمال عیب ناهم محوری استاتور در ثانیه پنجم، تا قبل از وقوع عیب اتصال کوتاه شدن، فرکانس نوسانات شبیه سینوسی جریانهای مذکور که بر روی شکل موج اصلی مشاهده می شود تقریباً برابر با فرکانس ۵۰ هرتز تغذیه و دامنه جریانها برابر با دامنه عیب ناهم محوری استاتور است. همچنین باید توجه شود که دامنه ارتعاشات تقریباً در یک حد باقی مانده است. شکل ۶ تصویر بزرگنمایی شده جریانها را پس از اعمال عیب ناهم محوری و قبل از وقوع عیب اتصال کوتاه شدن سیم پیچ، نشان می دهد. چنانکه بر روی شکل نیز مشخص شده است دامنه نوسانات متناسب با شدت عیب ناهم محوری استاتور است. باید توجه کرد در شکل مذکور عدد دامنه به صورت پیک تا پیک آورده شده است و باید برای سنجیدن شدت عیب این عدد نصف شود. در شکل ۷ جریانهای تغذیه موتور آورده شده است. پس از اعمال عیب ناهم محوری در ثانیه پنجم هر سه فاز تغذیه دارای

$$\begin{aligned} \frac{d}{dt} i_{q_{total}} &= \frac{d}{dt} i_{q_{health}} \\ &+ \frac{d}{dt} i_{q_{eccentricity\ fault}} \\ &+ \frac{d}{dt} i_{q_{short\ circuit\ fault}} \end{aligned}$$

## ۸- نتایج شبیه سازی

برای ارائه نتایج شبیه سازی، سیستم با یک کنترل کننده نامی پایدار شده است. کنترل کننده طراحی شده از نوع خطی سازی فیدبک با افزودن یک متغیر انتگرالی برای خطای سرعت می باشد. پارامترهای شبیه سازی در جدول ۳ آمده است. موتور القایی در نظر گرفته شده، یک موتور سه فاز ۱.۵ کیلووات با روتور سیم پیچی شده است.

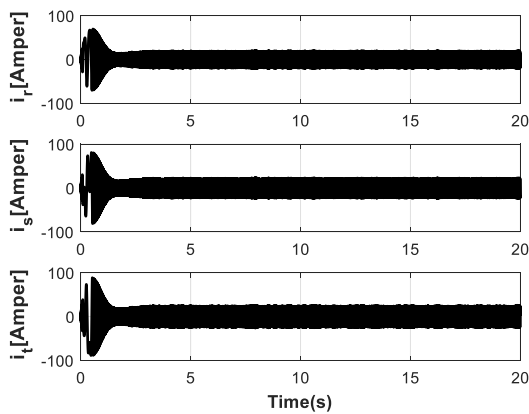
جدول ۳- پارامترهای شبیه سازی

پارامتر	مقدار	واحد
$L_s$	0.13995	H
$R_s$	1.165	$\Omega$
$L_r$	0.13995	H
$R_r$	0.39923	$\Omega$
$M$	0.13421	H
$J$	0.0812	$\text{kgm}^2$
$n_p$	2	Nm
$\psi_{d_{ref}}$	0.888	Wb
$\omega_{ref}$	154	rad/s
$\Gamma$	6	-

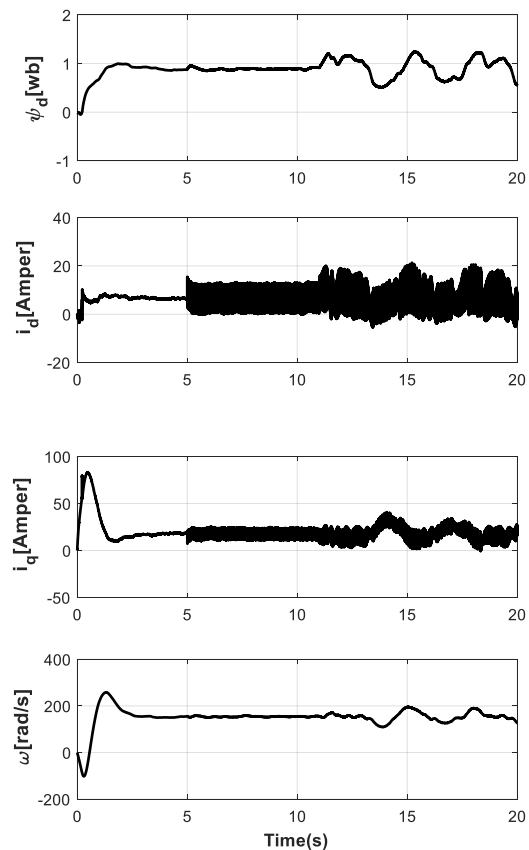
شکل ۲ متغیرهای حالت سیستم در شرایط بدون عیب در حضور کنترل کننده نامی را نمایش می دهد. مقادیر مرجع سرعت و شار مطابق جدول ۳ می باشد. موتور القایی در لحظه اول دارای گشتاور بار  $\tau_L = 30\text{ Nm}$  می باشد. همچنین نویز اندازه گیری برای جریانهای استاتور و سرعت روتور به صورت نویز سفید گوسی با کواریانسهای  $\pm 0.1A$  و  $\pm 0.5\text{ rad/s}$  به ترتیب در نظر گرفته شده است.

چنانکه در شکل ۲ مشاهده می شود، کنترل کننده نامی سیستم را پایدار کرده است. همچنین سیستم حلقه بسته بدون خطا به مقادیر مرجع خود رسیده است. سیگنالهای کنترلی اعمال شده در شکل ۳ آورده شده اند. در شکل ۴ جریانهای سه فاز تغذیه در شرایط بدون عیب نمایش داده شده اند. مطابق شکل ۴، پس از رسیدن سیستم به حالت پایدار، فرکانس و دامنه جریانهای تغذیه در مقدار ثابتی مانده است.

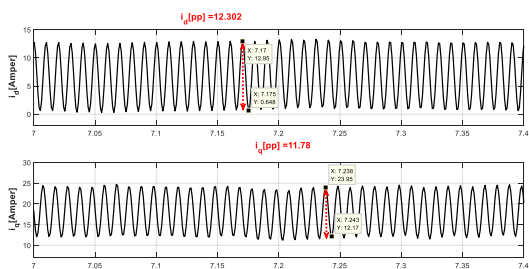
سه سناریو برای نشان دادن اثرات عیوب مذکور در نظر گرفته شده است. در سناریوی اول، عیب ناهم محوری استاتور در ثانیه پنجم به سیستم اعمال می شود. سپس در ثانیه یازدهم عیب اتصال کوتاه شدن سیم پیچ فاز



شکل ۴- جریان‌های تغذیه موتور القایی در شرایط بدون عبیب

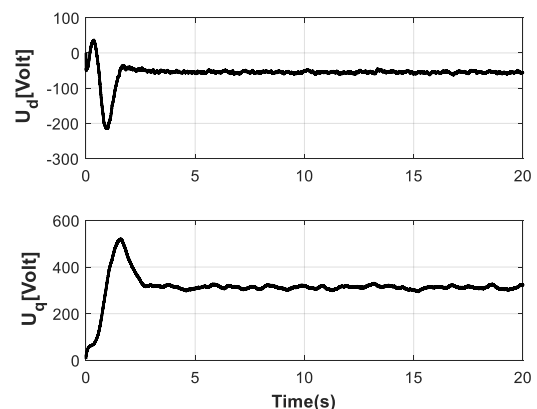


شکل ۵- متغیرهای حالت سیستم در شرایط عبیب سناریوی اول



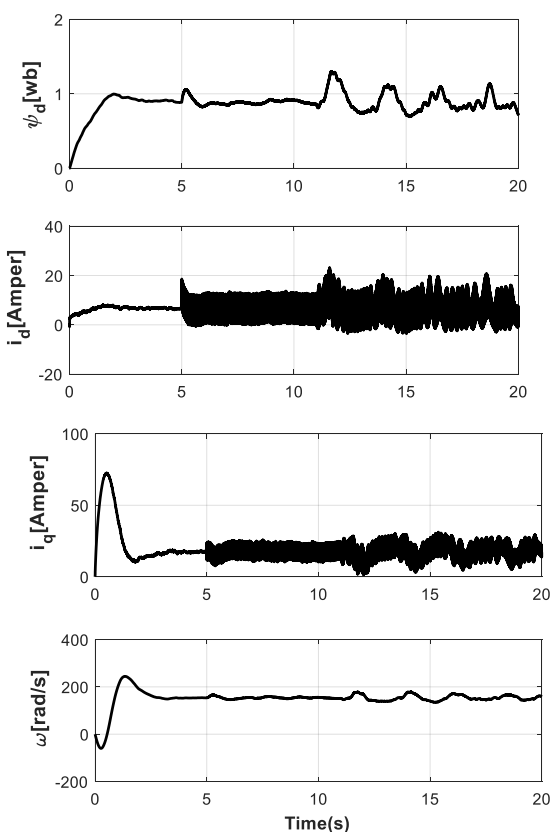
شکل ۶- بزرگنمایی شده جریان‌های  $i_d$  و  $i_q$

نوساناتی در دامنه شده اند. مقدار تغییرات بین هر دره و قله در پوش دامنه فازها نهایتاً در حدود دوبرابر شدت عبیب ناهم محوری اعمال شده است. شکل ۸ تصویر بزرگنمایی شده جریان‌های فازهای تغذیه پس از ثانیه پنجم و قبل از وقوع عبیب اتصال کوتاه را نشان می‌دهد. باید توجه شود با توجه به اینکه عبیب اعمال شده در سناریوی اول از نوع عبیب ناهم محوری استاتور می‌باشد، فرکانس نوسانات ایجاد شده در پوش دامنه، با توجه به پارامترهای اعمال شده کمتر از فرکانس تغذیه و در حدود ۲ تا ۴ هرتز است. در ادامه سناریوی اول، عبیب اتصال کوتاه شدن سیم پیچ فاز A در ثانیه یازدهم به وقوع می‌پیوندد. مطابق آنچه که در شکل ۵ نیز مشاهده می‌گردد دامنه نوسانات جریان‌های موتور افزایش یافته است. شکل ۹ برای مشاهده میزان افزایش دامنه با جزئیات بیشتری آورده شده است. چنانکه در شکل ۹ مشاهده می‌گردد میزان تغییرات ماکزیمم دامنه نوسانات شبیه سینوسی، متناسب با درصد اتصال کوتاه شدن سیم پیچ فاز A افزایش یافته است. به بیان دیگر، تغییرات پیک تا پیک ماکزیمم دامنه نوسانات باید در حدود ۱۸ واحد باشد، از مقدار دامنه ۹ که نصف مقدار پیک تا پیک است، ۶ واحد آن مربوط به شدت عبیب ناهم محوری و ۳ واحد آن مربوط به درصد اتصال کوتاه شدن فاز A می‌باشد. علاوه بر این فرکانس نوسانات دامنه نیز تا فرکانس حدود ۱۰ هرتز افزایش پیدا کرده است. در شکل ۱۰ نیز جریان‌های تغذیه موتور پس از اعمال عبیب اتصال کوتاه شدن سیم پیچ آورده شده است. چنانکه مشاهده می‌گردد، پس از اعمال شدن عبیب اتصال کوتاه شدن سیم پیچ فاز A یک تغییر دامنه ناگهانی صرفاً در جریان فاز R به میزان حدود ۴ واحد به وجود آمده است و فرکانس نوسانات دامنه در تمامی فازها مطابق با فرکانس نوسانات دامنه جریان‌های موتور تا حدود ۱۰ هرتز افزایش یافته است.

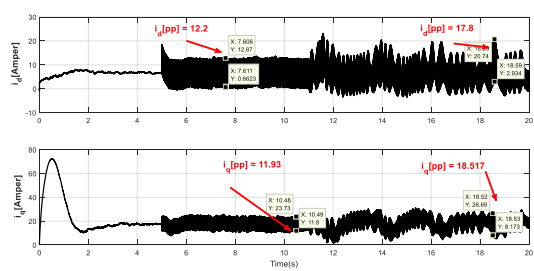


شکل ۳- سیگنال‌های کنترلی اعمال شده به سیستم نامی

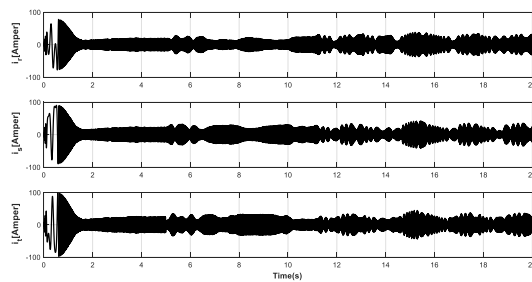
می دهد. چنانکه در تصویر نیز دیده می شود، مشابه سناریوی قبل، تغییرات هر دره تا قله پس از اعمال شدن عیب ناهم محوری روتور نشان دهنده میزان دامنه عیب است. که البته متناسب با دو برابر دامنه آن خواهد بود. نکته دوم اینکه تفاوت این سناریو با سناریوی قبل در فرکانس نوسانات جریانهای موتور و همچنین فرکانس نوسانات پوش دامنه جریانهای تغذیه می باشد. فرکانس نوسانات پوش تغذیه در حدود ۶ الی ۸ هرتز بوده که تقریباً دو برابر فرکانس نوسانات سناریوی اول است. پس از اعمال عیب اتصال کوتاه شدن سیم پیچ ها در سناریوی دوم، دامنه نوسانات جریانهای تغذیه تغییر چندانی ندارد ولی فرکانس آنها افزایش یافته است. این فرکانس ها برابر با فرکانسهای نوسانات جریانهای موتور می باشد. مشابه سناریوی قبل فرکانس این نوسانات در حدود ۱۰ هرتز می باشد.



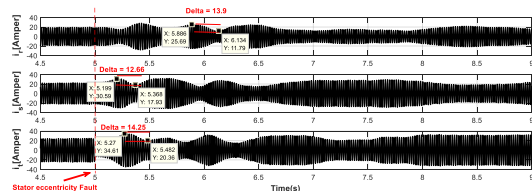
شکل ۱۱ - متغیرهای حالت سیستم در شرایط عیب سناریوی دوم



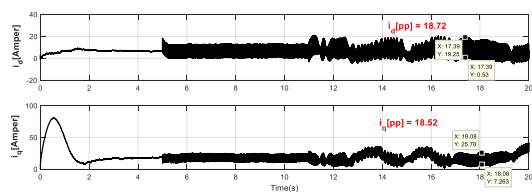
شکل ۱۲ - جریانهای موتور در شرایط عیب سناریوی دوم



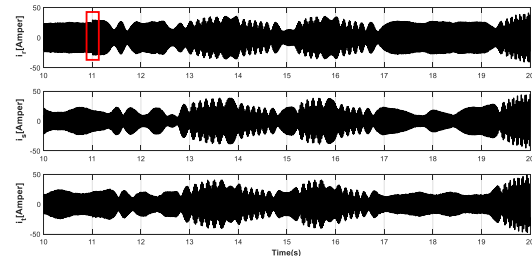
شکل ۷ - جریان های تغذیه موتور القایی در شرایط عیب سناریوی اول



شکل ۸ - بزرگنمایی شده جریان های تغذیه موتور القایی در شرایط عیب سناریوی اول



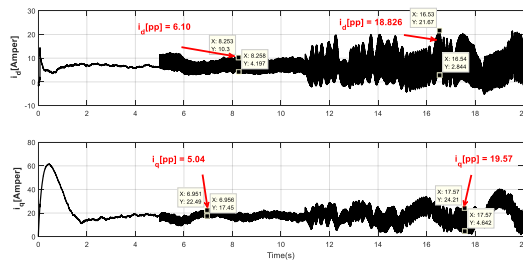
شکل ۹ - جریان های موتور القایی در شرایط عیب سناریوی اول



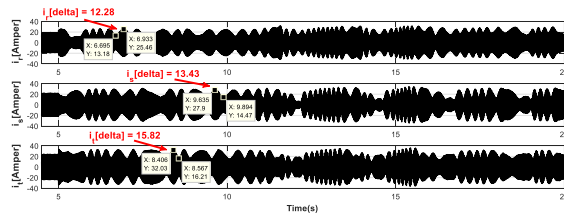
شکل ۱۰ - جریان های تغذیه موتور القایی در شرایط عیب سناریوی اول پس

از اعمال عیب اتصال کوتاه شدن سیم پیچ فاز A

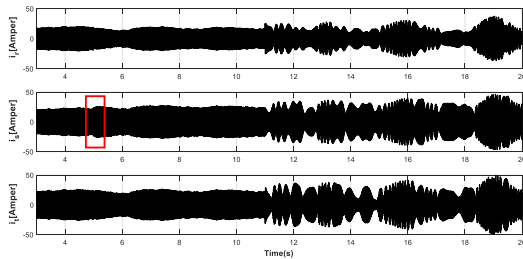
سناریوی دوم مشابه سناریوی اول است با این تفاوت که در ثانیه پنجم عیب ناهم محوری اعمال شده از نوع عیب ناهم محوری روتور است. در شکل ۱۱ متغیرهای حالت سیستم مشاهده می شود. با وقوع عیب ناهم محوری روتور، شار سیستم، بیشتر از عیب ناهم محوری استاتور دچار تغییر شده است. در این حالت نیز با اعمال عیب ناهم محوری روتور در ثانیه پنجم دامنه نوسانات شبیه سینوسی افزایش یافته و مجدداً در ثانیه یازدهم با افزوده شدن عیب اتصال کوتاه شدن سیم پیچ فاز A دامنه بار دیگر افزوده شده است. شکل ۱۲ جزئیات دامنه ها پس از اعمال عیب سناریوی دوم را نشان می دهد. در این سناریو نیز پس از ثانیه پنجم دامنه نوسانات شبیه سینوسی جریانها شدت عیب ناهم محوری روتور را نشان میدهد و همچنین پس از ثانیه یازدهم درصد اتصال کوتاه شدن سیم پیچ های فاز A نیز به نوسانات دامنه افزوده می شود. در این حالت نیز پیک تا پیک نوسانات متناسب با دو برابر مقدار دامنه شدت عیب ناهم محوری روتور بعلاوه درصد اتصال کوتاه شدن سیم پیچ می باشد. شکل ۱۳ جریانهای سه فاز تغذیه موتور را نشان



شکل ۱۳ - جریانهای تغذیه در شرایط عیب سناریوی دوم



شکل ۱۴ - متغیرهای حالت سیستم در شرایط عیب سناریوی سوم



شکل ۱۵ - جریانهای موتور در شرایط عیب سناریوی سوم

با توجه به آنچه که در نمودارهای سه سناریوی عیب ارائه شده مشاهده شد، میتوان شاخصی را به صورت ذیل برای تشخیص عیب و همچنین تخمین شدت آن در نظر گرفت. دامنه نوسانات جریانهای موتور در فریم d-q نشان دهنده شدت عیب ایجاد شده است. حال برای تشخیص نوع عیب با استفاده از نوسانات جریانهای تغذیه میتوان این امر را تشخیص داد. در صورتی که تغییرات آنی دامنه صرفاً در یک فاز اتفاق افتاده باشد، نشان دهنده عیب اتصال کوتاه در سیم پیچ متناظر است. در صورتی که نوسانات دامنه در تمامی فازها مشاهده شود نشان دهنده عیب ناهم محوری است. برای تفکیک عیب ناهم محوری موتور از استاتور نیز کافیست به فرکانس نوسانات دامنه توجه شود.

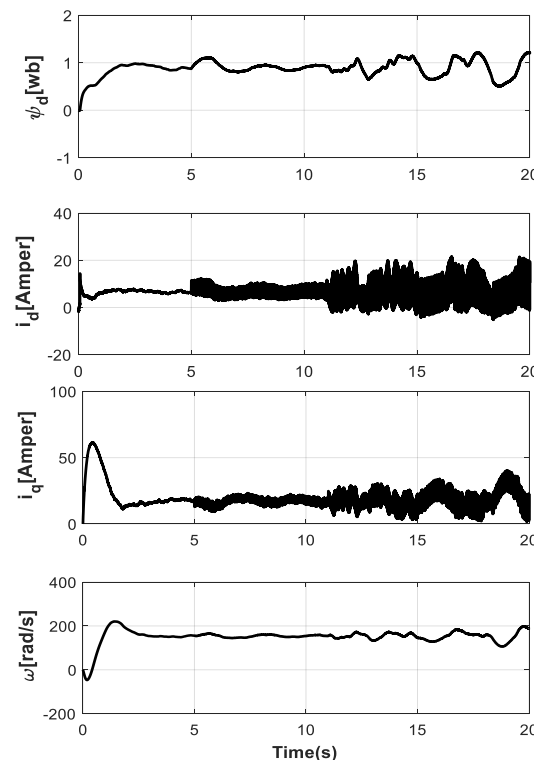
**بررسی اجمالی اثر اشباع در موتور القایی:** تغییراتی که در دمای موتور، فرکانس لغزش و یا اشباع موتور ایجاد می شود، می تواند تغییرات زیادی را در مقاومت روتور،  $R_r$  ایجاد کند. طبیعتاً پارامترهای مرتبط با مقاومت روتور در مدل ارائه شده دچار تغییر خواهند شد در حالیکه بقیه پارامترهای مدل تقریباً ثابت باقی می ماندند [۱۲]. با توجه به گزارش هایی که در موضوع موتورهای القایی وجود دارد،  $R_r$  ممکن است به دلیل گرم شدن روتور تا  $\pm 50\%$  مقدار نامی تغییر کند [۲۰، ۲۱]. برای شبیه سازی اثرات مذکور، یک عدم قطعیتی برای مقاومت روتور به فرم ذیل تعریف می گردد.

$$R_r = (1 + \delta_R) R_{rN} \quad (۴۷)$$

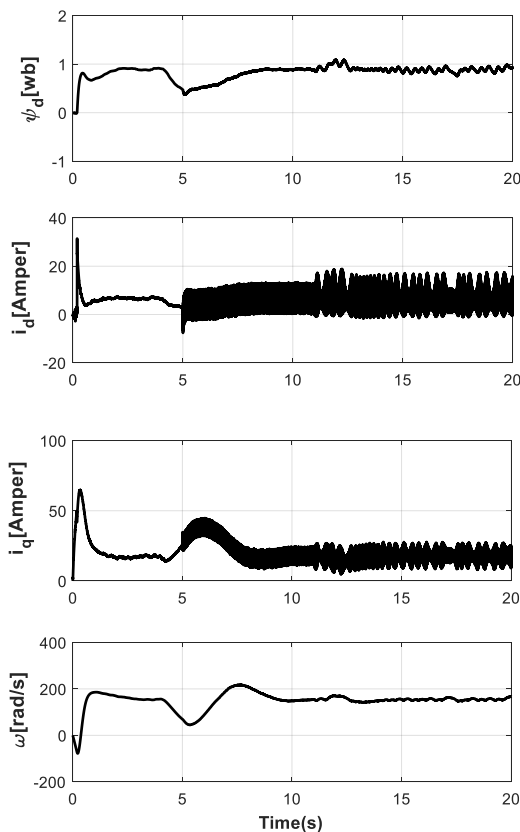
که  $R_{rN}$  مقدار نامی مقاومت روتور و  $\delta_R$  یک آشفستگی به دلیل افزایش دما در یک ناحیه کاری خاص است طوری که:

$$|\delta_R| \leq 0.5 \quad (۴۸)$$

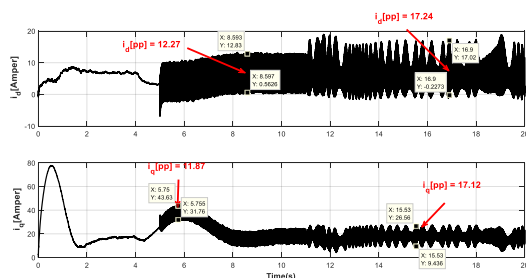
در سناریوی سوم در ثانیه پنجم عیب اتصال کوتاه شدن سیم پیچ فاز B به میزان ۳٪ به سیستم اعمال می شود و در ثانیه یازدهم عیب ناهم محوری روتور اعمال می گردد. شکل ۱۴ متغیرهای حالت سیستم را نشان می دهد. در شکل ۱۵ جریانهای موتور که دوتا از متغیرهای حالت سیستم هستند نمایش داده شده اند. مانند سناریوهای قبلی با اعمال عیب سیم پیچ در ثانیه پنجم به میزان ۳٪ به سیم پیچ B نوسانات دامنه در جریانها آغاز شده است. دامنه نوسانات شبیه سینوسی متناسب با دوبرابر درصد اتصال کوتاه شدن می باشد. پس از اعمال شدن عیب ناهم محوری روتور در ثانیه یازدهم، نوسانات دامنه متناسب با دامنه عیب اعمالی، افزایش پیدا کرده است. به عبارت بهتر ۶ واحد مربوط به شدت عیب ناهم محوری پس از ثانیه یازدهم و ۳ واحد نیز مربوط به درصد اتصال کوتاه شدن از ثانیه پنجم است و باید انتظار داشت که مقدار پیک تا پیک جریانهای موتور حدود ۱۸ واحد باشد که نمودارها این امر را تایید می کنند. در شکل ۱۶ جریان های سه فاز تغذیه رسم شده اند. با اعمال عیب اتصال کوتاه شدن در سیم پیچ فاز B تغییر آنی بسیار کوچکی در ثانیه پنجم به وقوع پیوسته است. با اعمال شدن عیب ناهم محوری روتور در ثانیه یازدهم، نوسانات دامنه در تمامی فازها آغاز شده و فرکانس نوسانات همانند سناریوهای قبل است.



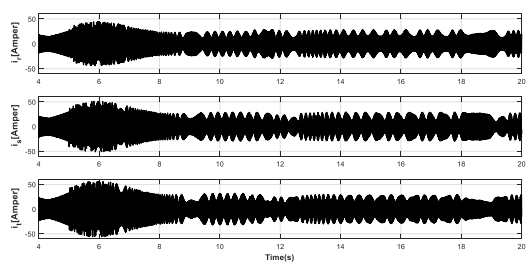
شکل ۱۶ - متغیرهای حالت سیستم در شرایط عیب سناریوی سوم



شکل ۱۸ - معادلات حالت سیستم در حضور اشباع حالت اول با شرایط عیب سناریوی دوم



شکل ۱۹ - جریان‌های موتور در حضور اشباع حالت اول با شرایط عیب سناریوی دوم



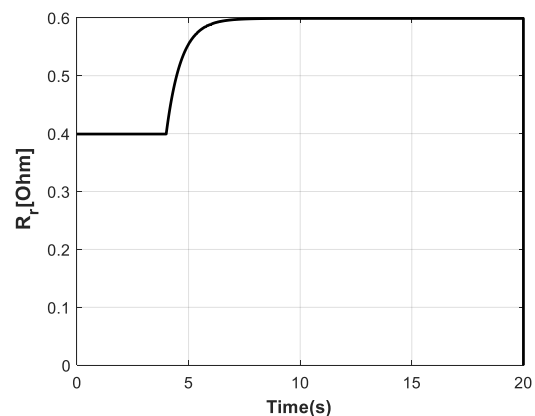
شکل ۲۰ - جریان‌های تغذیه موتور در حضور اشباع حالت اول با شرایط عیب سناریوی دوم

در حالت دوم فرض می‌شود فرایند تغییر مقاومت روتور از ثانیه نهم شروع شود. شکل ۲۱ متغیرهای حالت سیستم را در برای حالت دوم نشان

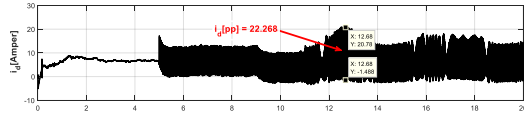
برای شبیه سازی اثر مربوطه فرض می‌شود پارامتر  $R_r$  یک پارامتر متغیر با زمان کند است. برای این منظور رابطه ذیل برای آن در نظر گرفته می‌شود:

$$R_r = R_{rN} + 0.25R_{rN}(1 - e^{-1.5t}) \quad (۴۹)$$

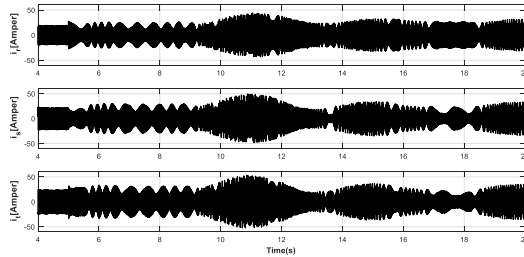
که در رابطه فوق مقدار  $\delta_R = 0.25$  فرض شده است. برای بررسی اثر اشباع دو حالت در نظر گرفته می‌شود. در حالت اول فرض می‌شود عیب سناریوی دوم اتفاق بیفتد و یک ثانیه قبل از وقوع عیب، مقاومت روتور طبق رابطه ۴۹ تغییر کند. شکل ۱۷ نمودار تغییر مقاومت روتور به دلیل اشباع را نشان می‌دهد. چنانکه مشاهده می‌شود، از ثانیه چهارم مقدار مقاومت روتور با توجه به رابطه ۴۹ شروع به افزایش کرده و نهایتاً در ثانیه هشتم به مقدار نهایی خود رسیده است. شکل ۱۸ معادلات حالت سیستم با وجود اشباع حالت اول را نشان می‌دهد. چنانکه مشاهده می‌گردد، با شروع تغییر مقاومت روتور و رفتن به حالت اشباع، شار سیستم و همچنین سرعت زاویه تغییرات حدود ۵۰ درصدی را تجربه کرده‌اند اما در نهایت کنترل کننده نامی سیستم را پایدار کرده است. در شکل ۱۹ جریان‌های موتور نمایش داده شده‌اند. اشباع سبب شده است که شکل کلی جریانها تغییر کند اما با توجه به نمودارها، معیارهای برآورد مقدار دامنه عیوب ایجاد شده همچنان برقرار است و دامنه نوسانات متناظر با دامنه عیوب است. در شکل ۲۰ جریانهای تغذیه نمایش داده شده‌اند. با توجه به اینکه در هنگام وقوع عیب در ثانیه پنجم مقاومت روتور در حال تغییر بوده است. رفتار جریانهای تغذیه متفاوت با حالت بدون اشباع است. طوریکه هم دامنه تغییرات و هم فرکانس آنها دستخوش تغییر شده است. نکته مهم اینکه پس از رسیدن مقاومت به حالت دائمی رفتار جریان‌های تغذیه مشابه حالت بدون اشباع شده است.



شکل ۱۷ - نمودار تغییرات مقاومت روتور برای بررسی اثر اشباع در حالت اول



شکل ۲۲- جریان‌های موتور در حضور اشباع حالت دوم با شرایط عیب سناریوی دوم



شکل ۲۳- جریان‌های تغذیه در حضور اشباع حالت دوم با شرایط عیب سناریوی دوم

## ۸- نتیجه گیری

در این مقاله یک مدل دینامیکی موتور القایی سه فاز معرفی شد. این مدل شامل دو عیب ناهم محوری و اتصال کوتاه شدن سیم پیچ استاتور است. با معرفی مدل جدید بیش از ۷۰٪ عیوب موتور القایی تحت پوشش قرار گرفت. نتایج شبیه سازی ثابت کرد که با استفاده از مدل پیشنهادی، علاوه بر به کارگیری تخمین حالتهای سیستم و جریان‌های تغذیه موتور در روشهای بر مبنای مدل، از روش‌های بر مبنای سیگنال هم می‌توان استفاده کرد. همچنین از مدل پیشنهادی می‌توان در شناسایی عیب و یا جبران سازی آن استفاده کرد.

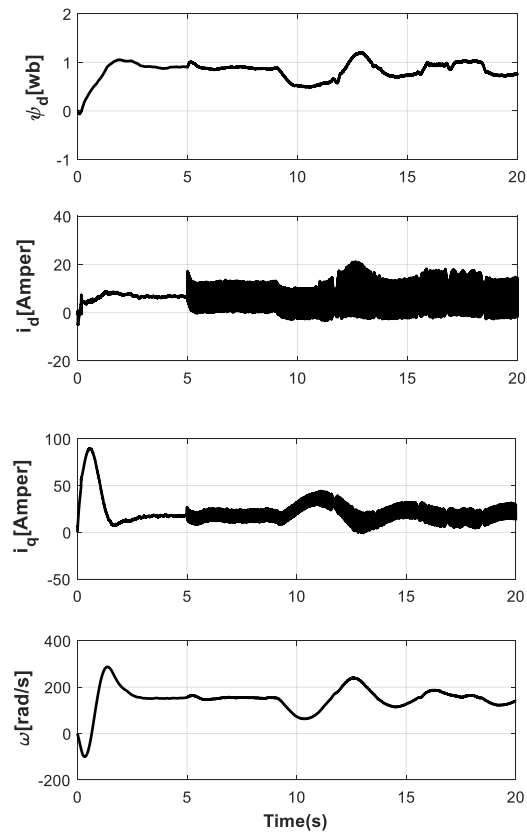
## کلیدواژگان

- 1- rotor flux
- 2- Stator current
- 3- magnetizing inductance

## مراجع

- [1] A. Hajary, R. Kianinezhad, s. g. seyfossadat, A. Saffarian, and S. s. Mortazavi, "Robust Control of Symmetrical Six-Phase Induction Machine Under Open-phase Fault Condition Based on ADRC," (in eng), Journal of Control, Research paper vol. 11, no. 1, pp. 51-60, 2017. [Online]. Available: <http://joc.kntu.ac.ir/article-1-387-fa.html>.

می‌دهد. در این حالت نیز با شروع تغییرات مقاومت روتور تغییرات چشمگیری در متغیرهای حالت شار و سرعت زاویه‌ای مشاهده می‌شود. شکل ۲۲ نشان دهنده رفتار جریانهای موتور است. مطابق شکل اشباع باعث افزایش دامنه نوسانات دامنه شده و معیار تشخیص را تا ۲۵٪ دستخوش تغییر کرده است. باید توجه شود که پس از رسیدن مقاومت روتور به حالت دائمی معیار تناسب دامنه نوسانات با دامنه عیوب برقرار شده است. در شکل ۲۳ جریانهای تغذیه سه فاز آورده شده‌اند. در این حالت نیز همانند حالت قبل، تا مقاومت روتور در حال تغییر است، رفتار جریانها کاملاً متفاوت با حالت بدون اشباع است و با رسیدن مقاومت روتور به یک مقدار ثابت رفتار جریانها مشابه حالتی می‌شود که اشباع رخ نداده باشد. به طور کلی در صورتی که برای سیستم اشباع نیز در نظر گرفته شود و در حضور اشباع عیوب تخمین زده شود، باید به طریق ذیل عمل شود. با توجه به اینکه اشباع، تغییرات بسیار بزرگی را در متغیرهای حالت شار و سرعت زاویه‌ای ایجاد می‌کند، به منظور جلوگیری از تشخیص اشتباه عیوب، باید پس از رسیدن به حالت دائمی متغیرهای حالت مذکور، معیارهای آورده شده در بخش قبل را اجرا نمود.



شکل ۲۱- معادلات حالت سیستم در حضور اشباع حالت دوم با شرایط عیب سناریوی دوم

- [14] A. J. Allbrecht PF, McCoy RM, Owen EL, "Assessment of the reliability of motors in utility applications—updated," IEEE Trans Energy Convers EC-1, vol. 1, pp. 39-46, 1986.
- [15] W. W. Saad, M. A. El-Geliel, and A. Lotfy, "IM stator winding faults diagnosis using EKF," 2018, vol. 2018-February: Institute of Electrical and Electronics Engineers Inc., pp. 34-39, doi: 10.1109/ACCS-PEIT.2017.8302997.
- [16] H. Abdallah and K. Benatman, "Stator winding inter-turn short-circuit detection in induction motors by parameter identification," (in English), IET Electr Power Appl, Article vol. 11, no. 2, pp. 272-288, 2017, doi: 10.1049/iet-epa.2016.0432.
- [17] R. Marino, Tomei, P., & Verrelli, C.M., Induction motor control design. London: Springer-Verlag, 2010.
- [18] S. Gunal, Ece, D.G., & Gerec, O.N., "Induction machine condition monitoring using notch-filtered motor current," Mechanical Systems And Signal Processing, 23, vol. 8, pp. 2658-2670, 2009.
- [19] A. Nikranjbar, Ebrahimi, M., & Wood, A.S., "Modelbased fault diagnosis of induction motor eccentricity using particle swarm optimization," Proceedings of the Institution of Mechanical Engineers, Part C: Journal of Mechanical Engineering Science., vol. 223, pp. 607-615, 2009.
- [20] W. Leonhard, "Control of electrical derives," Springer, 1996.
- [21] R. Marino, Peresada, S., & Valigi, P., "Adaptive input-output linearizing control of induction motor," IEEE Transactions on Automatic Control, vol. 38, 2, pp. 208-221, 1993.
- [2] I. Boldea and S. A. Nasar, Vector control of AC drives (Vector Control of AC Drives). CRC Press (in English), 2017, pp. 1-237.
- [3] A. Damaki, M. Amini, and M. Torabi, "Design, Analysis and Fabrication of a Counter Rotate Brushless Permanent Magnet Motor for Using in Under Water Systems," (in eng), Journal Of Marine Engineering, Research Paper vol. 13, no. 26, pp. 25-34, 2018.
- [4] S. X. Ding, Model-based fault diagnosis techniques: Design schemes, algorithms and tools. London: Springer-Verlag, 2013.
- [5] R. Isermann, Fault-diagnosis applications: model-based condition monitoring: Actuators, drives, machinery, plants, sensors, and fault-tolerant systems. Berlin: Heidelberg: Springer-Verlag, 2011.
- [6] M. Ojaghi, R. Aghmasheh, and M. Sabouri, "Model-based exact technique to identify type and degree of eccentricity faults in induction motors," (in English), IET Electr Power Appl, Article vol. 10, no. 8, pp. 706-713, 2016, doi: 10.1049/iet-epa.2016.0026.
- [7] M. Blodt, Granjon, P., Raison, B., & Regnier, J., Mechanical fault detection in induction motor drives through stator current monitoring – theory and application examples. France: INTECH, 2010.
- [8] S. C. S. Karmakar, M. Mitra, S. Sengupta, Induction motor fault diagnosis approach through current signature analysis. Springer, 2016.
- [9] E. Darie, "About modeling of induction motor faults," in International Conference on Electromechanical and Power Systems, Chisinau, Republic of Moldavia, 2007.
- [10] A. Seghiour, T. Seghier, B. Zegnini, and G. Georgoulas, "Diagnosis of the combined rotor faults using air gap magnetic flux density spectrum for an induction machine," (in English), Intl. J. Syst. Assur. Eng. Manage., Article vol. 8, pp. 1503-1519, 2017, doi: 10.1007/s13198-017-0621-9.
- [11] S. Abdellatif, S. Tahar, and Z. Boubakeur, "Dynamic analysis of the simultaneous mixed eccentricity and broken rotor bars in induction machine based on magnetic field diagnosis," (in English), Recent Adv. Electr. Electron. Eng., Article vol. 10, no. 2, pp. 101-109, 2017, doi: 10.2174/2352096510666170425105816.
- [12] H. Rezaei and M. J. Khosrowjerdi, "A polytopic LPV approach to active fault tolerant control system design for three-phase induction motors," (in English), Int J Control, Article vol. 90, no. 10, pp. 2297-2315, 2017, doi: 10.1080/00207179.2016.1244730.
- [13] A. K. S. Singh GK, "Induction machine drive condition monitoring and diagnostic research—a survey," Electr Power Syst Res 64, vol. 2, pp. 145-158, 2003.